

ИНДУКЦИОННОЕ ВЗАИМОДЕЙСТВИЕ РАСШИРЯЮЩЕГОСЯ  
ПЛАЗМЕННОГО ШНУРА С ВНЕШНИМ ЭЛЕКТРИЧЕСКИМ  
КОНТУРОМ

В. И. Яковлев

(Новосибирск)

Для простейшей геометрии рассматривается индукционное взаимодействие импульсного потока плазмы с внешним электрическим контуром без сторонних источников э.д.с. При заданной гидродинамике плазмы вычисляются индуцированные во внешней цепи токи, а также рассматривается изменение магнитного поля внутри плазмы. Предполагается, что в начальный момент магнитного поля в плазме нет. На основании этих данных вычисляются работа, производимая плазмой против магнитного поля, энергия, выделяемая током на внешней нагрузке, и тепловые потери в самой плазме. Устанавливается существование критического числа Рейнольдса  $R_m^*$ , определяющего возможность отдачи энергии во внешний контур при взаимодействии импульсного потока плазмы с магнитным полем. Полученные данные могут быть использованы для оценки эффективности преобразования энергии движущейся плазмы в электрическую энергию.

1. **Постановка задачи.** Пусть имеется достаточно длинный соленоид радиуса  $b_0$  с числом витков  $n$  на единицу длины, замкнутый на внешнюю нагрузку, состоящую из омического сопротивления  $\Omega_1$  и индуктивности  $L_1$ .

Внутри соленоида имеется расширяющийся плазменный шнур, радиус которого в начальный момент времени  $t = 0$  равен  $a_0$  и проводимости плазмы при  $t = 0$  равна  $\sigma_0$ . Закон изменения радиуса шнура  $a = a(t)$  может быть произвольным и для дальнейшего будет записываться в виде

$$a(t) = a_0 F(t) \quad (1.1)$$

В момент  $t = 0$  по соленоиду течет ток  $I_0$  и магнитное поле внутри шнура отсутствует. Необходимо построить зависимость силы тока, текущего по соленоиду и внешней нагрузке, от времени, а также распределение напряженности магнитного поля внутри соленоида для каждого момента времени  $t > 0$ . Исходя из этих данных, легко можно вычислить работу  $A$ , совершаемую плазмой против магнитного поля, энергию  $Q_1$ , выделяемую на внешней нагрузке; энергию  $Q_2$ , выделяемую в самой плазме за единицу времени, а также энергию магнитного поля  $W$  в системе для любого момента времени  $t$ . Примем следующие допущения.

1°. Отношение длины соленоида к радиусу велико и поэтому все витки считаются работающими в условиях бесконечно длинного соленоида. Если теперь через  $\Omega$  и  $L$  обозначить соответственно омическое сопротивление и индуктивность внешней нагрузки, отнесенные к единице длины соленоида, то в дальнейшем систему можно рассматривать состоящей из внешней нагрузки с характеристиками  $\Omega$  и  $L$ , подключенной к участку единицы длины бесконечно длинного соленоида, внутри которого имеется расширяющийся бесконечно длинный плазменный шнур.

2°. Расширение шнура равномерно, т. е. отношение радиусов любых двух слоев не зависит от времени. В этом случае для скорости расширения слоя, находящегося на расстоянии  $r$  от оси, в момент времени  $t$  справедливо следующее соотношение:

$$q(r, t) = \frac{r}{a(t)} q(\bar{a}) = \frac{r}{a(t)} \frac{da(t)}{dt} \quad (1.2)$$

3°. Проводимость плазмы постоянна по радиусу шнура и меняется обратно пропорционально квадрату радиуса шнура со временем, т. е.

$$\sigma(t) = \sigma_0 \frac{a_0^2}{a^2(t)} \quad (1.3)$$

4°. Токами смещения пренебрегаем.

5°. Магнитная проницаемость плазмы  $\mu = 1$ .

2. Основные уравнения. Введем цилиндрическую систему координат с осью  $z$ , совмещенной с осью соленоида. Из постановки задачи вытекает:

$$\mathbf{H} = [0, 0, H_z(r, t)], \quad \mathbf{q} = [q_r(r, t), 0, 0]$$

При  $r \geq a(t)$  вектор  $\mathbf{H}$  не зависит от радиуса  $r$  и определяется силой тока  $I(t)$ , текущего по соленоиду

$$H_z = \frac{4\pi n}{c} I(t) \quad (b_0 \geq r \geq a(t))$$

Как уже было сказано, напряженность поля внутри плазменного шнура в момент  $t = 0$  считается равной нулю. Проникновение поля в движущуюся проводящую среду с удельной проводимостью  $\sigma$ , не зависящей от координат, определяется уравнением [1]

$$\frac{\partial \mathbf{H}}{\partial t} = \frac{c^2}{4\pi\sigma} \Delta \mathbf{H} + \text{rot}(\mathbf{q} \times \mathbf{H}) \quad (2.1)$$

которое для рассматриваемого случая записывается в виде

$$\frac{\partial H}{\partial t} = \frac{c^2}{4\pi\sigma} \frac{1}{r} \frac{\partial}{\partial r} \left( r \frac{\partial H}{\partial r} \right) - \frac{1}{r} \frac{\partial}{\partial r} (r q H) \quad (t > 0, 0 \leq r \leq a(t)) \quad (2.2)$$

Здесь и в дальнейшем  $H$  и  $q$  будем писать без соответствующих индексов.

В случае равномерного расширения, как показано в [2], это уравнение может быть значительно упрощено. Для этого от одной из независимых переменных  $r$  в (2.2) переходим к переменной

$$r_1 = \frac{a_0}{a(t)} r \quad (2.3)$$

которая меняется от 0 до  $a_0$  при изменении  $r$  от 0 до  $a(t)$  и вместо  $H(r, t)$  рассматриваем функцию  $H_1(r_1, t)$ . Тогда для новой неизвестной функции

$$u(r_1, t) = H_1(r_1, t) a^2(t) \quad (2.4)$$

получается уравнение

$$\frac{\partial u}{\partial t} = \frac{c^2}{4\pi\sigma_0} \frac{1}{r_1} \frac{\partial}{\partial r_1} \left( r_1 \frac{\partial u}{\partial r_1} \right) \quad (2.5)$$

решение которого при следующих начальном и граничном условиях:

$$u(r_1, 0) = 0, \quad u(a_0, t) = \frac{4\pi n}{c} I(t) a^2(t) \quad (2.6)$$

полностью определяет распределение напряженности магнитного поля внутри расширяющегося шнура.

Заметим, что входящая в граничное условие функция  $I(t)$  является неизвестной и для ее определения необходимо написать уравнение закона Ома для внешнего контура

$$E = I \Omega \quad \left( E = - \frac{1}{c} \frac{d\Phi}{dt} \right) \quad (2.7)$$

Здесь  $E$  — электродвижущая сила индукции.

Магнитный поток  $\Phi$  через контур, образованный внешней нагрузкой и соленоидом единичной длины, складывается из двух частей: магнитного потока  $\Phi_1 = c^{-1}LI$  через внешнюю индуктивность и потока  $\Phi_2 = n\Phi_2'$  через витки соленоида, причем магнитный поток  $\Phi_2'$  через один виток состоит из потока  $\Phi_-$  через плазменный шнур и потока через кольцо между соленоидом радиуса  $b_0$  и плазменным шнуром радиуса  $a(t)$ , т. е.

$$\Phi_2' = \Phi_- + \pi (b_0^2 - a^2) \frac{4\pi n}{c} I(t)$$

Следовательно

$$\Phi = \frac{1}{c} LI + n\Phi_- + (b_0^2 - a^2) \frac{4\pi^2 n^2}{c} I(t) \quad (2.8)$$

На основании (2.7) и (2.8) для  $I(t)$  получаем следующее уравнение:

$$\frac{1}{c^2} \left[ L + L_0 \left( 1 - \frac{a^2}{b_0^2} \right) \right] \frac{dI}{dt} + \left[ \Omega - \frac{2}{c^2} L_0 \frac{a(t) a'(t)}{b_0^2} \right] I(t) + \frac{n}{c} \frac{d\Phi_-}{dt} = 0 \quad (2.9)$$

где

$$L_0 = 4\pi^2 n^2 b_0^2 \quad (2.10)$$

индуктивность единицы длины основного соленоида.

Из выражения для потока через плазменный шнур

$$\Phi_- = 2\pi \int_0^{a(t)} r H(r, t) dr$$

и уравнения (2.2) легко получить формулу для вычисления  $d\Phi_- / dt$  через градиент напряженности магнитного поля  $H$  на границе шнура

$$\frac{d\Phi_-}{dt} = \frac{c^2}{2\sigma(t)} \tilde{a}(t) \left. \frac{\partial H(r, t)}{\partial r} \right|_{r=a(t)} \quad (2.11)$$

Учитывая условие (3) и переходя к функции  $u(r_1, t)$ , получаем

$$\frac{d\Phi_-}{dt} = \frac{c^2}{2\sigma_0 a_0} \left. \frac{\partial u(r_1, t)}{\partial r_1} \right|_{r_1=a_0} \quad (2.12)$$

Для удобства решения приведем уравнения к безразмерному виду. Примем следующие масштабы для размерных величин:  $t_0$  — время, за которое радиус шнура изменяется от  $a_0$  до  $b_0$ ,  $a_0$  — масштаб для линейных размеров системы,  $I_0$  и  $4\pi n I_0 / c$  — масштабы для силы тока и напряженности магнитного поля соответственно.

Введем обозначения для безразмерных параметров

$$\frac{t}{t_0} = \tau, \quad \frac{I}{I_0} = j, \quad \frac{r_1}{a_0} = \xi, \quad \frac{b_0}{a_0} = r_0, \quad \frac{a}{a_0} = \lambda \quad (2.13)$$

$$\frac{L}{L_0} = \alpha, \quad \frac{\Omega t_0 c^2}{L_0} = \beta, \quad \frac{4\pi \sigma_0 a_0 (b_0 - a_0)}{c^2 t_0} = R_m$$

Тогда вместо (2.5) для безразмерной функции

$$v(\xi, \tau) = \frac{u(r_1, t)}{(4\pi n/c) I_0 a_0^2} \quad (2.14)$$

будем иметь следующее уравнение:

$$\frac{\partial v}{\partial \tau} = \frac{r_0 - 1}{R_m} \frac{1}{\xi} \frac{\partial}{\partial \xi} \left( \xi \frac{\partial v}{\partial \xi} \right) \quad (\tau > 0, 0 \leq \xi \leq 1) \quad (2.15)$$

и вместо условий (2.6) будем иметь

$$v(\xi, 0) = 0, \quad v(1, \tau) = \lambda^2(\tau) j(\tau) \quad (2.16)$$

Подставляя в (2.9) выражение  $d\Phi_- / dt$  из (2.12) и переходя к безразмерным величинам, получим следующее уравнение:

$$\left[ \alpha + \left( 1 - \frac{\lambda^2(\tau)}{r_0^2} \right) \right] \frac{dj}{d\tau} + \left[ \beta - \frac{2}{r^2} \lambda(\tau) \lambda'(\tau) \right] j(\tau) + \frac{r_0 - 1}{R_m} \frac{2}{r_0^2} \frac{\partial v}{\partial \xi} \Big|_{\xi=1} = 0 \quad (2.17)$$

Для безразмерной силы тока  $j(\tau)$  имеется начальное условие

$$j(0) = 1 \quad (2.18)$$

Уравнения (2.15) — (2.18) составляют систему, из которой можно получить полное решение поставленной задачи.

**3. Решение полученных уравнений.** Воспользуемся преобразованиями Лапласа. Для функции  $v(\xi, \tau)$ , удовлетворяющей уравнению (2.15) и условиям (2.16), легко можно получить изображение в комплексной плоскости ( $p$ ) через функции Бесселя

$$v(\xi, \tau) \doteq V(p, \xi) = F(p) \frac{J_0(\sqrt{R_* p} \xi)}{J_0(\sqrt{R_* p})} \quad \left( R_* = \frac{R_m}{r_0 - 1} \right) \quad (3.1)$$

Здесь функция

$$F(p) \doteq \lambda^2(\tau) j(\tau)$$

представляет собой изображение граничной функции  $\lambda^2(\tau) j(\tau)$ . Отсюда получаем изображение для  $\partial v / \partial \xi$

$$\frac{\partial v}{\partial \xi} \doteq \frac{dV}{d\xi} = F(p) \sqrt{R_* p} \frac{J_1(i\sqrt{R_* p} \xi)}{J_0(i\sqrt{R_* p})} \quad (3.2)$$

Для частного случая  $F_1(p) = 1/p$  имеем

$$\frac{dV_1}{d\xi} = \frac{R_* J_1(i\sqrt{R_* p} \xi)}{J_0(i\sqrt{R_* p}) \sqrt{R_* p}} \quad (3.3)$$

Отсюда

$$\frac{\partial v_1}{\partial \xi} = \frac{R_*}{2\pi i} \int_C \frac{e^{p\tau} J_1(i\sqrt{R_* p} \xi) dp}{J_0(i\sqrt{R_* p}) \sqrt{R_* p}} \quad (3.4)$$

где контуром интегрирования  $C$  является прямая, параллельная мнимой оси и расположенная в правой полуплоскости.

На основании леммы Жордана ([3], стр. 410) и теоремы Коши о вычетах вычисление интеграла (3.4) сводится к вычислению суммы вычетов подынтегральной функции относительно ее изолированных особых точек.

Произведя вычисления, находим

$$\frac{\partial v_1}{\partial \xi} = 2 \sum_{k=1}^{\infty} \exp\left(-\frac{\mu_k^2 \tau}{R_*}\right) \frac{J_1(\mu_k \xi)}{J_1(\mu_k)} \quad (3.5)$$

где через  $\mu_k$  обозначается  $k$ -тый корень уравнения  $J_0(x) = 0$ . Так как

$$\frac{dV}{d\xi} = pF(p) \frac{dV_1}{d\xi}$$

то на основании интеграла Дюамеля имеем

$$\frac{\partial v}{\partial \xi} = [\lambda^2(\tau) j(\tau)] \Big|_{\tau=0} \frac{\partial v_1}{\partial \xi} + \int_0^{\tau} \frac{d}{d\chi} [\lambda^2(\chi) j(\chi)] \frac{\partial v_1(\xi, \tau - \chi)}{\partial \xi} d\chi$$

или, введя обозначение

$$K(\xi, \tau) = 2 \sum_{k=1}^{\infty} \exp\left(-\frac{\mu_k^2 \tau}{R_*}\right) \frac{J_1(\mu_k \xi)}{J_1(\mu_k)} \quad (3.6)$$

и, имея в виду условия  $\lambda(0) = 1$ ,  $j(0) = 1$

$$\frac{\partial v}{\partial \xi} = K(\xi, \tau) + \int_0^{\tau} \frac{d}{d\chi} [\lambda^2(\chi) j(\chi)] K(\xi, \tau - \chi) d\chi \quad (3.7)$$

Подставляя это выражение в уравнение (2.17), получим следующее уравнение для безразмерной силы тока:

$$\begin{aligned} & \left[ \alpha + \left( 1 - \frac{\lambda^2(\tau)}{r_0^2} \right) \right] \frac{dj}{d\tau} + \left[ \beta - \frac{2}{r_0^2} \lambda(\tau) \cdot \lambda'(\tau) \right] j(\tau) + \\ & + \frac{2}{R_* r_0^2} \left\{ K_1(\tau) + \int_0^{\tau} \frac{d}{d\chi} [\lambda^2(\chi) j(\chi)] K_1(\tau - \chi) d\chi \right\} = 0 \end{aligned} \quad (3.8)$$

Здесь

$$K_1(\tau) = K(\xi, \tau) |_{\xi=1} = 2 \sum_{k=1}^{\infty} \exp\left(-\frac{\mu_k^2 \tau}{R_*}\right) \quad (3.9)$$

Уравнение (3.8) совместно с начальным условием (2.18) решается численным методом на электронно-вычислительной машине.

Из (3.1) легко получить формулу аналогично (3.7)

$$v(\xi, \tau) = M(\xi, \tau) + \int_0^{\tau} \frac{d}{d\chi} [\lambda^2(\chi) j(\chi)] M(\xi, \tau - \chi) d\chi \quad (3.10)$$

где

$$M(\xi, \tau) = 1 - 2 \sum_{k=1}^{\infty} \frac{1}{\mu_k} \exp\left(-\frac{\mu_k^2 \tau}{R_*}\right) \frac{J_0(\mu_k \xi)}{J_1(\mu_k)} \quad (3.11)$$

Имея функции  $j(\tau)$ ,  $v(\xi, \tau)$  и  $\partial v(\xi, \tau) / \partial \xi$ , можно вычислить те энергетические величины, о которых говорилось в п. 1. Ниже приведены формулы для их вычисления

$$A(\tau) = \frac{1}{2t_0} \left[ \frac{4\pi n}{c} I_0 a_0 \right]^2 \frac{\lambda'(\tau)}{\lambda^3(\tau)} \int_0^1 \frac{\partial v}{\partial \xi} v(\xi, \tau) \xi^2 d\xi \quad (3.12)$$

$$Q_1(\tau) = \frac{1}{2t_0} \left[ \frac{4\pi n}{c} I_0 a_0 \right]^2 \beta \frac{r_0^2}{2} j^2(\tau) \quad (3.13)$$

$$Q_2(\tau) = \frac{1}{2t_0} \left[ \frac{4\pi n}{c} I_0 a_0 \right]^2 \frac{1}{R_* \lambda^2(\tau)} \int_0^1 \left( \frac{\partial v}{\partial \xi} \right)^2 \xi d\xi \quad (3.14)$$

$$W(\tau) = \frac{1}{2} \left[ \frac{4\pi n}{c} I_0 a_0 \right]^2 \frac{1}{2} \left\{ \frac{1}{\lambda^3(\tau)} \int_0^1 v^2 \xi d\xi + \frac{1}{2} j^2(\tau) [r_0^2 (1 + \alpha) - \lambda^2(\tau)] \right\} \quad (3.15)$$

**4. Численные результаты и выводы.** Для численного решения уравнения (3.8) и построения функций  $v(\xi, \tau)$  и  $\partial v(\xi, \tau) / \partial \xi$  принят следующий закон изменения радиуса шнура во времени:

$$\lambda(\tau) = \sqrt[m]{1 + (r_0^m - 1)\tau} \quad (4.1)$$

где показатель корня  $m$  позволяет в широких пределах варьировать характер расширения плазменного шнура. Приведенные ниже численные результаты, полученные на быстродействующей электронно-вычислительной машине, соответствуют следующим значениям:

$$m = 1, \quad \alpha = 0.1, \quad r_0 = 2.5$$

Безразмерные параметры  $R_m$  и  $\beta$  меняются и принимают следующие значения:

$$R_m = 3, 6, 15$$

$$\beta = 0.1, 0.5, 2.5$$

На фиг. 1 представлены кривые  $j(\tau)$  для приведенных значений  $R_m$  и  $\beta$ .

На фиг. 2, 3 и 4 приведены кривые

$$A^*(\tau) = \frac{A(\tau)}{\frac{1}{2t_0} \left[ \frac{4\pi n}{c} I_0 a_0 \right]^2}$$

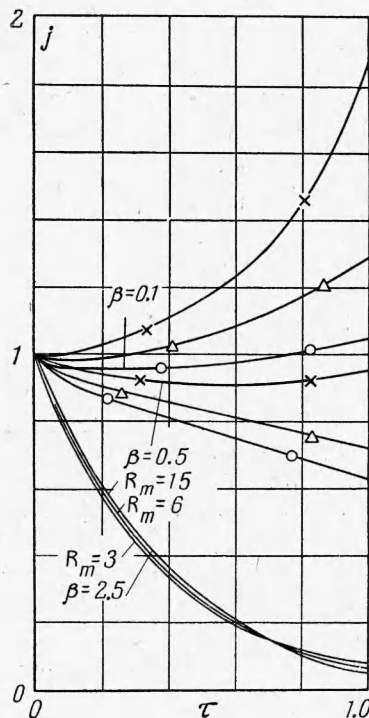
$$Q^*(\tau) = \frac{Q_2(\tau)}{\frac{1}{2t_0} \left[ \frac{4\pi n}{c} I_0 a_0 \right]^2}$$

$$W^*(\tau) = \frac{W(\tau)}{\frac{1}{2} \left[ \frac{4\pi n}{c} I_0 a_0 \right]^2}$$

соответственно для  $\beta = 2.5$ ,  $\beta = 0.5$ ,  $\beta = 0.1$  при различных значениях  $R_m$ .

Как видно из фиг. 1, характер изменения силы тока во внешней цепи в сильной степени зависит от безразмерного коэффициента внешнего сопротивления  $\beta$ . При

Фиг. 1. Зависимость силы тока от времени (кружочки, треугольники и крестики соответствуют значениям  $R_m = 3, 6, 15$ )



больших  $\beta$  (в рассматриваемом случае  $\beta = 2.5$ ) ток быстро падает со временем, причем этот процесс практически не зависит от  $R_m$  (в тех пределах изменения  $R_m$ , которые рассматриваются). Последнее связано с тем обстоятельством, что при больших  $\beta$  основное влияние на характер изменения силы тока оказывает сопротивление внешнего контура, а не индукционное взаимодействие этого контура с расширяющимся плазменным шнуром при заданных  $R_m$ . При меньших значениях  $\beta$  влияние  $R_m$  становится все более и более значительным.

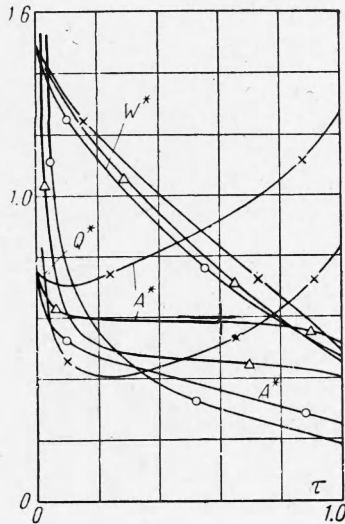
Характерной особенностью процесса взаимодействия, как это видно из фиг. 2, 3 и 4, является то, что при каждом  $R_m$  и  $\beta$  существует такой начальный промежуток времени  $0 \leq t \leq t_*$ , в течение которого интен-



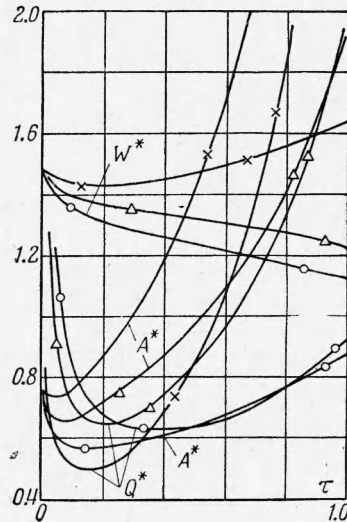
Фиг. 2. Зависимость работы плазмы за единицу времени  $A^*$ , интенсивности джоулевых потерь в плазме  $Q^*$  и энергии магнитного поля в системе  $W^*$  от времени при  $\beta = 2.5$  и  $R_m = 6$

сивность джоулевых потерь в плазме превышает работу  $A$ , совершаемую плазмой при своем движении за единицу времени, причем чем больше магнитное число Рейнольдса  $R_m$ , тем значение  $\tau_* = t_*/t_0$  меньше. Из этого следует, что на начальном этапе взаимодействия хотя плазма и совер-

шает положительную работу над магнитным полем, но тем не менее она является потребителем энергии. При малых  $R_m$  относительная доля этих начальных потерь в плазме может оказаться больше по сравнению с той положительной разностью между работой плазмы и потерями в ней, которая может иметь место при  $\tau > \tau_*$ . Отсюда очевидно существование такого критического числа  $R_m^*$  для системы, что при  $R_m < R_m^*$  джоулевы потери



Фиг. 3. Зависимость работы плазмы за единицу времени  $A^*$ , интенсивности джоулевых потерь в плазме  $Q^*$  и энергии магнитного поля в системе  $W^*$  от времени при  $\beta = 0.5$ . Условные обозначения те же, что на фиг. 1.



Фиг. 4. Зависимость работы плазмы за единицу времени  $A^*$ , интенсивности джоулевых потерь в плазме  $Q^*$  и энергии магнитного поля в системе  $W^*$  от времени при  $\beta = 0.1$ . Условные обозначения те же, что на фиг. 1.

в плазме за время взаимодействия  $t_0$  будут превышать работу, совершенную плазмой за этот же промежуток времени. Ясно, что ни о какой передаче энергии от плазмы в этом случае говорить нельзя. Иными словами, если  $R_m > R_m^*$ , то плазма будет являться потребителем энергии и только при  $R_m > R_m^*$  плазма может передавать свою энергию в магнитное поле.

Это явление имеет место не только для рассмотренного частного случая взаимодействия движущейся плазмы с магнитным полем; оно имеет место во всех случаях нестационарного взаимодействия импульсного потока плазмы с магнитным полем.

Действительно, пусть имеется система с характерным размером  $l$  и характерной скоростью плазмы  $q$ . Пусть в начальный момент времени  $t = 0$  в плазме магнитное поле отсутствует. Обозначим через  $H_0$  напряженность внешнего магнитного поля (которое может быть как постоянным, так и переменным) и через  $\Delta$  — глубину проникновения магнитного поля в плазму в момент времени  $t$ .

Очевидно, плотность токов, индуцированных в поверхностном слое плазмы толщиной  $\Delta$

$$j \approx \frac{c}{4\pi} \frac{H_0}{\Delta} \quad (4.2)$$

а объем, занятый токами,  $\approx l^2 \Delta$ .

Тогда работа, совершаемая плазмой против магнитного поля за единицу времени

$$A \approx \frac{H_0^2 l^2}{8\pi} q \quad (4.3)$$

а джоулево тепло, выделяющееся в объеме  $l^2 \Delta$  за единицу времени

$$Q_2 \approx \frac{i^2}{\sigma} l^2 \Delta \approx \frac{c^2 l^2 H_0^2}{(4\pi)^2 \Delta \sigma} \quad (4.4)$$

Из сравнения (4.3) и (4.4) вытекает, что

$$Q_2 > A \quad \text{при } \Delta < \Delta_* \approx \frac{l}{R_m} \quad (4.5)$$

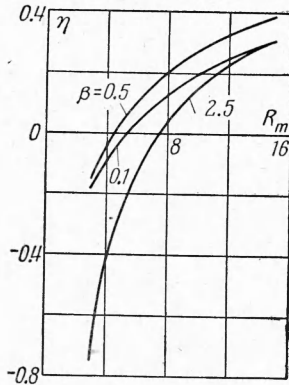
Оценим время, за которое магнитное поле проникает на глубину  $\Delta_*$ , и сравним его со временем взаимодействия  $t_0$

$$t_* \approx \frac{4\pi\sigma}{c^2} \Delta_*^2 \approx \frac{4\pi\sigma}{c^2} \frac{l^2}{R_m^2}, \quad \frac{t_*}{t_0} \approx \frac{1}{R_m} \quad (4.6)$$

Из (4.6) ясно, что передача энергии от импульсного потока плазмы возможна только в том случае, если магнитное число Рейнольдса  $R_m$  больше некоторого критического значения.

Для рассматриваемого конкретного случая зависимость отношения

$$\eta = \left( \int_0^{t_0} A dt - \int_0^{t_0} Q_2 dt \right) / \int_0^{t_0} A dt$$



Фиг. 5. Зависимость коэффициента  $\eta$  от магнитного числа Рейнольдса

от величины  $R_m$  для различных значений  $\beta$  представлена на фиг. 5. Отсюда видно, что  $\eta$  достигает значений  $\approx 35-40\%$  при  $R_m \approx 15$ .

Заметим, что эта величина, так же как и значение  $R_m^*$ , в значительной степени зависит от  $\beta$ , что объясняется зависимостью характера изменения внешнего поля от величины  $\beta$ .

Автор благодарит Л. А. Заклязьминского за постановку и помощь в работе и Е. И. Шемякина за ценные советы.

Поступила 27 XII 1962

#### ЛИТЕРАТУРА

1. Пикельнер С. Б. Основы космической электродинамики. Физматгиз, 1961.
2. Арцимович Л. А. Магнитный поток в сжимающемся цилиндре. Сб. Физика плазмы и проблема управляемых термоядерных реакций, Изд. АН СССР, 1958, т. 2.
3. Лаврентьев М. А., Шабат Б. В. Методы теории функций комплексного переменного. Физматгиз, 1958.